

Si vous notez des erreurs, merci de nous les signaler.

2004 CCP MP Physique 2

PARTIE A - OPTIQUE

I – Étude géométrique

1. Les étoiles émettent des faisceaux de lumière parallèle (Ondes électromagnétiques planes), celui provenant de E_a parallèle à l'axe optique de la lunette, l'autre provenant de E_b faisant un angle θ avec cet axe optique.

- 2.a. A_1 et B_1 se trouvent dans le plan focal image de

$$\text{la lentille } L_1. \boxed{A_1 B_1 = f'_1 \cdot \tan \theta \approx f'_1 \cdot \theta}$$

- 2.b. $\frac{A_2 B_2}{A_1 B_1} = \frac{O_2 A_2}{O_2 A_1} = 2$ et $\frac{1}{O_2 A_2} - \frac{1}{O_2 A_1} = \frac{1}{f'_2}$

$$\text{donnent } \boxed{O_2 A_1 = -\frac{1}{2} f'_2 = 1,25 \text{ cm}}$$

- 3.a. $\boxed{A_2 B_2 = f' \cdot \theta = f' \frac{A_1 B_1}{f'_1}}$ donne $\boxed{f' = 2f'_1}$.

- 3.b. $\boxed{A_1 A_2 = O_2 A_2 - O_2 A_1 = O_2 A_1 = 1,25 \text{ cm}}$

L'encombrement est plus important avec cette association de deux lentilles, mais l'image finale est plus grande, ce qui permettra de mieux séparer les images des deux étoiles.

4. $\boxed{A_2 B_2 \min = 2f'_1 \theta \min = 9 \mu\text{m}}$, ce qui donne $\boxed{\theta \min = 6,0 \cdot 10^{-7} \text{ rad} = 0,12 \text{ seconde d'arc}}$. De même, on aura $\boxed{\theta \max = 768 * \theta \min = 1,6 \text{ minute d'arc}}$.

II – Pouvoir séparateur de la lunette dû à la diffraction

A. Préliminaires

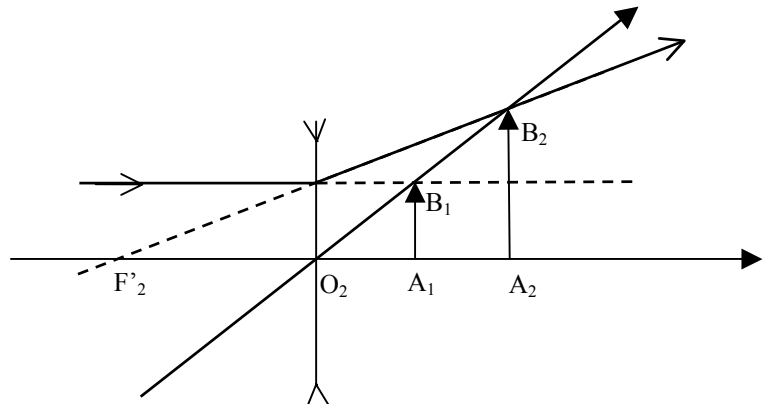
1. Principe de Huygens-Fresnel : La pupille diffractante est équivalente à un ensemble de sources secondaires émettrices d'ondes sphériques secondaires réparties continûment à la surface de la pupille. L'amplitude d'une onde sphérique est proportionnelle à la surface dS occupée par la source secondaire, à l'amplitude de l'onde incidente arrivant sur la source secondaire, à une constante de proportionnalité caractéristique du dispositif utilisé, à la transmission de la pupille et au déphasage lié à la position relative des points sur la source secondaire.

Pour une diffraction à l'infini, on supposera que les distances $O'M$, OP et OO' sont très grandes par rapport aux dimensions de l'ouverture, ce qui se traduit également par $O'P$ petit par rapport à OO' et OM petit par rapport à OO' .

2. Comme on observe la diffraction à l'infini, placer une lentille convergente permet d'observer la figure de diffraction dans le plan (π) , le plan focal de la lentille L_3 . On aura $\boxed{X_P = \alpha f'_3}$ et $\boxed{Y_P = \beta f'_3}$.

3. L'amplitude complexe de l'onde s'écrit :

$$\underline{A}'(P) = K_1 \int_{-a/2}^{+a/2} \int_{-b/2}^{+b/2} \exp \left(j \frac{2\pi}{\lambda} (\vec{u}_i - \vec{u}) \cdot \begin{pmatrix} \longrightarrow \\ CM \end{pmatrix} \right) dS = K_1 \int_{-a/2}^{+a/2} \int_{-b/2}^{+b/2} \exp \left(j \frac{2\pi}{\lambda} (\vec{u}_i - \vec{u}) \begin{pmatrix} \longrightarrow & \longrightarrow \\ CO & OM \end{pmatrix} \right) dS$$



$$\underline{A}'(P) = K_1 \int_{-a/2}^{+a/2} \int_{-b/2}^{+b/2} \exp\left(j \frac{2\pi}{\lambda} (\vec{u}_i - \vec{u}) \begin{pmatrix} \longrightarrow \\ CO \end{pmatrix}\right) \exp\left(j \frac{2\pi}{\lambda} (\vec{u}_i - \vec{u}) \begin{pmatrix} \longrightarrow \\ OM \end{pmatrix}\right) dS$$

$$\underline{A}'(P) = \exp\left(j \frac{2\pi}{\lambda} (\vec{u}_i - \vec{u}) \begin{pmatrix} \longrightarrow \\ CO \end{pmatrix}\right) K_1 \int_{-a/2}^{+a/2} \int_{-b/2}^{+b/2} \exp\left(j \frac{2\pi}{\lambda} (\vec{u}_i - \vec{u}) \begin{pmatrix} \longrightarrow \\ OM \end{pmatrix}\right) dS$$

→

Comme $CO = d_x \vec{u}_x + d_y \vec{u}_y$, on obtient

$$\underline{A}'(P) = \exp\left(j \frac{2\pi}{\lambda} (\vec{u}_i - \vec{u}) \cdot (d_x \vec{u}_x + d_y \vec{u}_y)\right) K_1 \int_{-a/2}^{+a/2} \int_{-b/2}^{+b/2} \exp\left(j \frac{2\pi}{\lambda} (\vec{u}_i - \vec{u}) \begin{pmatrix} \longrightarrow \\ OM \end{pmatrix}\right) dS, \text{ ce qui peut s'écrire :}$$

$$\underline{A}'(P) = \exp\left(j \frac{2\pi}{\lambda} (\vec{u}_i - \vec{u}) \cdot (d_x \vec{u}_x + d_y \vec{u}_y)\right) \underline{A}(P) \text{ soit } \boxed{\underline{A}'(P) = \exp(jh(d_x, d_y)) \underline{A}(P)} \text{ avec}$$

$$h(d_x, d_y) = \frac{2\pi}{\lambda} (\vec{u}_i - \vec{u}) \cdot (d_x \vec{u}_x + d_y \vec{u}_y)$$

B. Application : diffraction par la lunette

1.a. L'élément diffractant est le carré placé devant la lunette puisqu'il est inclus dans l'ouverture de la lunette.

→ →

Pour une incidence normale, $\vec{u}_i = \vec{u}_z$ et donc $\vec{u}_i \cdot OM = 0$. Par ailleurs, $\vec{u} \cdot OM = \alpha \cdot x + \beta \cdot y + \gamma \cdot 0 = \alpha \cdot x + \beta \cdot y$

et $\alpha = \frac{X_p}{f'_1}$ et $\beta = \frac{Y_p}{f'_1}$. Comme $dS = dx \cdot dy$, on obtient l'intégrale suivante pour $\underline{A}(P)$:

$$\underline{A}(P) = K_1 \int_{-a/2}^{+a/2} \exp\left(-j \frac{2\pi X_p}{\lambda f'_1} x\right) dx \cdot \int_{-a/2}^{+a/2} \exp\left(-j \frac{2\pi Y_p}{\lambda f'_1} y\right) dy$$

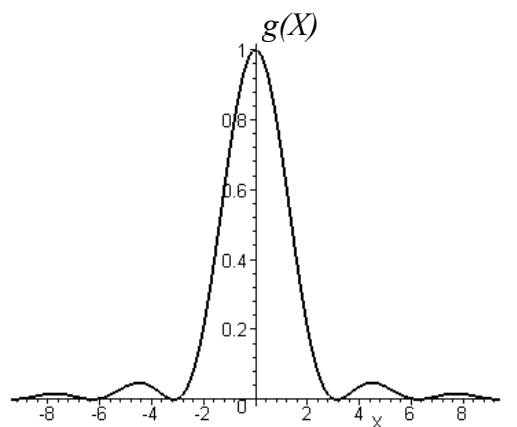
$$\int_{-a/2}^{+a/2} \exp\left(-j \frac{2\pi X_p}{\lambda f'_1} x\right) dx = \frac{\left[\exp\left(-j \frac{2\pi X_p}{\lambda f'_1} x\right) \right]_{-a/2}^{+a/2}}{-j \frac{2\pi X_p}{\lambda f'_1}} = \frac{\exp\left(-j \frac{\pi X_p}{\lambda f'_1} a\right) - \exp\left(j \frac{\pi X_p}{\lambda f'_1} a\right)}{-j \frac{2\pi X_p}{\lambda f'_1}}$$

$$= \frac{-2j \sin\left(\frac{\pi X_p}{\lambda f'_1} a\right)}{-j \frac{2\pi X_p}{\lambda f'_1}} = a \sin c\left(\frac{\pi X_p}{\lambda f'_1} a\right)$$

On obtient donc $\boxed{\underline{A}(P) = a^2 K_1 \sin c\left(\frac{\pi X_p}{\lambda f'_1} a\right) \sin c\left(\frac{\pi Y_p}{\lambda f'_1} a\right)}$.

1.b. L'éclairement vaut $\boxed{\varepsilon_a(X_p, Y_p) = \frac{1}{2} \operatorname{Re}(\underline{A}(P) \cdot \underline{A}^*(P))}$, ce qui

conduit à $\boxed{\varepsilon_a(X_p, Y_p) = \frac{1}{2} a^4 K_1^2 \sin c^2\left(\frac{\pi X_p}{\lambda f'_1} a\right) \sin c^2\left(\frac{\pi Y_p}{\lambda f'_1} a\right)}$.



On a $\boxed{\varepsilon_{a\max} = \frac{1}{2} K_1^2 a^4}$ et $\boxed{g(X_p) = \sin c^2\left(\frac{\pi X_p}{\lambda f'_1} a\right)}$

1.c. Le centre de la figure de diffraction se situe en O' , image géométrique de E_a . La figure de diffraction est symétrique puisque la fonction $\sin^2(x)$ est une fonction paire. Elle s'annulera pour $\frac{\pi X_p}{\lambda f'_1} a = \pm\pi$, soit pour

$\boxed{X_p = \pm \frac{\lambda f'_1}{a}}$ et on obtiendra une tache de largeur $\boxed{\frac{2\lambda f'_1}{a}}.$

1.d. Si le carré devient une fente très longue selon l'axe y, alors la fonction $\sin c^2\left(\frac{\pi Y_p}{\lambda f'_1} a_y\right)$ a une valeur quasi-nulle en toute direction, sauf pour $Y_p = 0$ où alors la valeur est maximale et vaut 1.

On observera une amplitude $\boxed{A(P) = a_x a_y K_1 \sin c\left(\frac{\pi X_p}{\lambda f'_1} a\right)}$ et l'éclairement aura alors comme expression

$\boxed{\varepsilon_a(X_p) = \frac{1}{2} a_x^2 a_y^2 K_1^2 \sin c^2\left(\frac{\pi X_p}{\lambda f'_1} a\right)}$ et sa forme sera la même que celle obtenue au **1.b.**

2.a. Pour E_b , on a $\alpha_i = \sin\theta$, $\beta_i = 0$ et $\gamma_i = \cos\theta$. Pour θ faible, $\alpha_i \approx \theta$ et $\gamma_i \approx 1$.

2.b. On obtient

$$\boxed{A_b(P) = K_1 \int_{-a/2}^{+a/2} \int_{-b/2}^{+b/2} \exp\left(j \frac{2\pi}{\lambda} (\vec{u}_i - \vec{u}) \cdot OM\right) dS = K_1 \int_{-a/2}^{+a/2} \int_{-b/2}^{+b/2} \exp\left(j \frac{2\pi}{\lambda} [(\theta - \alpha) X_p - \beta Y_p]\right) dS}, \quad ce \quad qui$$

conduit à $\boxed{A_b(P) = a^2 K_1 \sin c\left(\frac{\pi a}{\lambda} (\alpha - \theta) X_p\right) \sin c\left(\frac{\pi a}{\lambda} \beta Y_p\right)}$ et l'éclairement s'écrit :

$\boxed{\varepsilon_b(X_p, Y_p) = \varepsilon_{b\max} \sin c^2\left(\frac{\pi}{\lambda} (\alpha - \theta) X_p\right) \sin c^2\left(\frac{\pi}{\lambda} \beta Y_p\right)}$

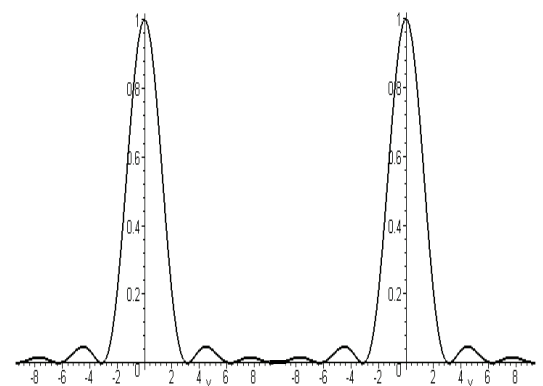
On obtient la même figure de diffraction que pour l'étoile E_a , mais elle est centrée sur le point tel que $\underline{Y_p} = 0$ et $\alpha = \theta$, soit pour $\underline{X_p} = f'_1 \cdot \theta$.

3.a. Les deux sources sont incohérentes : les éclairements s'ajoutent.

3.b. Le premier minimum apparaît en $\frac{\lambda f'_1}{a}$ (pour E_a) alors que le maximum pour E_b est en $f'_1 \cdot \theta$. On aura donc ces deux positions

qui coïncident pour $\boxed{\theta_1 = \frac{\lambda}{a}}$. AN : $\theta_1 = 1,92 \cdot 10^{-6} \text{ rad} = 0,40 \text{ seconde d'arc}$.

3.c. La largeur de la tache centrale de diffraction sur l'écran de la caméra sera donc pour une étoile de $2f'_1 \theta_1 \approx 29 \mu\text{m}$, soit environ 3 pixels. C'est donc la dimension de l'ouverture, et la diffraction qui l'accompagne, qui limite le pouvoir séparateur.



III – Interférences

1.a. On se trouve dans la situation du **II-B-1.a.**, ce qui donne $\boxed{A'(P) = ab K_1 \sin c\left(\frac{\pi X_p}{\lambda f'_1} a\right) \sin c\left(\frac{\pi Y_p}{\lambda f'_1} b\right)}$. Pour une fente fine, on aura $\boxed{A'(P) = ab K_1 \sin c\left(\frac{\pi}{\lambda} ab\right)}$.

1.b. Pour la fente (2), il faut ajouter le déphasage lié à $C_1 C_2$, ce qui peut s'écrire :

$$\begin{aligned}\underline{A}'_2(X_P) &= K_1 \int_{-b/2}^{+b/2} \exp\left(j \frac{2\pi}{\lambda} (\vec{u}_z - \vec{u}) \cdot \vec{C}_1 M\right) dS = K_1 \int_{-b/2}^{+b/2} \exp\left(j \frac{2\pi}{\lambda} (\vec{u}_z - \vec{u}) \left(\vec{C}_1 C_2 + \vec{C}_2 M \right)\right) dS \\ &= K_1 \int_{-b/2}^{+b/2} \exp\left(-j \frac{2\pi}{\lambda} (\alpha \vec{u}_x + \beta \vec{u}_y) \left(\vec{C}_1 C_2 + \vec{C}_2 M \right)\right) dS = K_1 \int_{-b/2}^{+b/2} \exp\left(-j \frac{2\pi}{\lambda} (\alpha d)\right) \exp\left(-j \frac{2\pi}{\lambda} \alpha x\right) dx \\ \boxed{\underline{A}'_2(X_P) = K_1 ab \exp\left(-j \frac{2\pi}{\lambda} (\alpha d)\right) \sin c\left(\frac{\pi}{\lambda} \alpha b\right)}\end{aligned}$$

1.c. Les deux figures de diffraction, prises séparément, sont les mêmes, à un coefficient constant pour d donné, avec les mêmes amplitudes pour l'éclairement puisque le coefficient a un module qui vaut 1.

2.a. Les deux sources provenant de la division du front d'onde sont cohérentes. On a alors les amplitudes complexes qui s'ajoutent : $\underline{A}(X_P) = \underline{A}'_1(X_P) + \underline{A}'_2(X_P)$

$$\underline{A}(X_P) = K_1 ab \left(1 + \exp\left(-j \frac{2\pi}{\lambda} (\alpha d)\right) \right) \sin c\left(\frac{\pi}{\lambda} \alpha b\right) \quad \text{et} \quad \varepsilon_T(X_P) = \frac{1}{2} \operatorname{Re}(\underline{A}(X_P) \cdot \underline{A}^*(X_P)) \quad \text{s'écrit alors}$$

$$\varepsilon_T(X_P) = \frac{1}{2} K_1^2 a^2 b^2 \left(1 + \exp\left(-j \frac{2\pi}{\lambda} (\alpha d)\right) \right) \left(1 + \exp\left(j \frac{2\pi}{\lambda} (\alpha d)\right) \right) \sin c^2\left(\frac{\pi}{\lambda} \alpha b\right)$$

$$\varepsilon_T(X_P) = \frac{1}{2} K_1^2 a^2 b^2 \left(2 + \exp\left(j \frac{2\pi}{\lambda} (\alpha d)\right) + \exp\left(-j \frac{2\pi}{\lambda} (\alpha d)\right) \right) \sin c^2\left(\frac{\pi}{\lambda} \alpha b\right)$$

$$\boxed{\varepsilon_T(X_P) = K_1^2 a^2 b^2 \left(1 + \cos\left(\frac{2\pi}{\lambda} \alpha d\right) \right) \sin c^2\left(\frac{\pi}{\lambda} \alpha b\right)}. \quad \text{On voit que cette expression se met sous la forme}$$

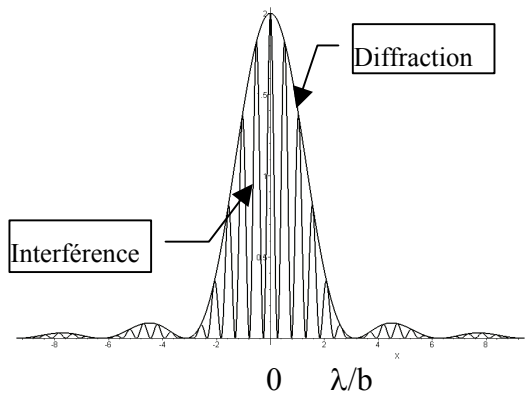
$$\varepsilon_T(X_P) = 2 * \frac{1}{2} K_1^2 a^2 b^2 \sin c^2\left(\frac{\pi}{\lambda} \alpha b\right) \left(1 + \cos\left(\frac{2\pi}{\lambda} \alpha d\right) \right), \quad \text{soit}$$

$$\boxed{\varepsilon_T(X_P) = 2 * \varepsilon(X_P) g_1(X_P)} \quad \text{où} \quad \boxed{g_1(X_P) = 1 + \cos\left(\frac{2\pi}{\lambda} \alpha d\right)} \text{ est}$$

une fonction caractéristique des interférences.

2.b. On voit bien que la figure de diffraction sert d'enveloppe à une figure d'interférence. Si les fentes sont infiniment fines, alors λ/b est très grand et l'on observe un nombre de franges d'interférences qui augmente : on observe essentiellement la figure d'interférence (la fonction $\sin c^2$ tend vers 1 quand b tend vers 0).

L'interfrange vaut, en angle, $i = \lambda/d$.



3.a. Lorsqu'il n'y a qu'une seule étoile E_a , la figure d'interférence est centrée en $X_{Pa} = 0$ (ordre 0). Le centre de la figure d'interférence pour l'étoile E_b correspond à la position de l'image géométrique de E_b : $X_{Pb} = f'_1 \theta$ (ordre 0). Les centres des figures d'interférence sont distants de $f'_1 \theta$. Un brouillage des franges sera obtenu lorsque le maximum d'une figure correspond au minimum de l'autre.

3.b. Cette condition se traduit par $f'_1 \theta = \frac{\lambda}{2a}$, soit $\boxed{d = \frac{\lambda}{2\theta}}$. La valeur minimale de θ sera obtenu pour d le plus grand possible. Comme le dispositif est devant l'entrée de la lentille L_1 , il faut $d \leq a$. On aura alors

$$\boxed{\theta_2 = \frac{\lambda}{2a} = 0,68 \cdot 10^{-6} \text{ rad} = 0,14 \text{ seconde d'arc}}$$

PARTIE B - ÉLECTROMAGNÉTISME

I – Préliminaires

I.1. Superposition d'un champ uniforme et de celui d'un dipôle

I.1.1. Le théorème de superposition conduit, après calculs, à $\vec{B}_R = \vec{B}_a + \vec{B}_M = B_a \left(-\frac{3R^3}{2r^3} \cos \theta \cdot \vec{e}_r + \left(1 + \frac{R^3}{2r^3} \right) \vec{e}_z \right)$

I.1.2. $\vec{B}_R \cdot r\vec{e}_r = \vec{B}_a + \vec{B}_M = rB_a \left(-\frac{3R^3}{2r^3} \cos \theta + \left(1 + \frac{R^3}{2r^3} \right) \vec{e}_z \cdot \vec{e}_r \right)$. Comme $\vec{e}_z \cdot \vec{e}_r = \cos \theta$, il vient immédiatement

$$\boxed{\vec{B}_R \cdot r\vec{e}_r = rB_a \left(1 - \frac{R^3}{r^3} \right) \cos \theta}$$

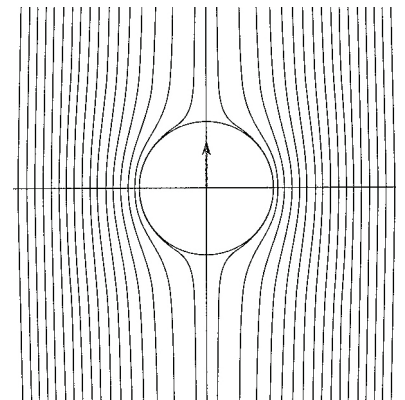
I.1.3. Pour $r = R$, $\vec{B}_R \cdot r\vec{e}_r = 0$. Le champ \vec{B}_R est donc perpendiculaire à \vec{e}_r , soit tangent à la sphère de rayon R .

Au niveau de la sphère, en coordonnées cartésiennes,

$$\vec{B}_R = \frac{3}{2} B_a (-\sin \theta \cos \theta \cdot \vec{e}_x + \sin^2 \theta \cdot \vec{e}_z)$$

$$\boxed{\|\vec{B}_R\| = \frac{3}{2} B_a \sin \theta} : \text{il est maximal pour } \theta = \pi/2.$$

I.1.4. Loin de la sphère, le champ est uniforme et donc les lignes de champ sont des droites parallèles. Au niveau de la sphère, le champ est tangent à la sphère, ce qui conduit à des lignes de champ qui épousent la forme de la sphère. D'où l'allure des lignes de champ représentées ci-contre.



I.2. Moment magnétique d'une distribution sphérique de courant

I.2.1. La distribution est indépendante de φ , et comme la distribution de courant est selon le vecteur de base \vec{e}_φ , l'axe Oz est un axe d'antisymétrie pour la distribution de courant. En tout point de cet axe, le champ magnétique sera porté par cet axe et donc $\boxed{\vec{B}(O) = B(O) \cdot \vec{e}_z}$

I.2.2. La loi de Biot et Savart s'écrit $d\vec{B}(O) = \frac{\mu_0}{4\pi R^2} (\vec{J}_s dS \wedge \vec{e}_{po})$ avec $\vec{e}_{po} = -\vec{e}_r$ et $dS = R^2 \sin \theta d\theta d\varphi$.

$$d\vec{B}(O) = -\frac{\mu_0}{4\pi R^2} (J_0 \sin \theta \cdot R^2 \sin \theta d\theta d\varphi) \vec{e}_\varphi \wedge \vec{e}_r = -\frac{\mu_0}{4\pi R^2} (J_0 \sin \theta \cdot R^2 \sin \theta d\theta d\varphi) \vec{e}_\theta$$

$$d\vec{B}(O) \cdot \vec{e}_z = -\frac{\mu_0 J_0}{4\pi} (\sin^2 \theta d\theta d\varphi) \vec{e}_\theta \cdot \vec{e}_z = \frac{\mu_0 J_0}{4\pi} (\sin^3 \theta d\theta d\varphi). \text{ On aura ainsi } \vec{B}(O) = \frac{\mu_0 J_0}{4\pi} \int_0^{2\pi} d\varphi \int_0^\pi \sin^3 \theta d\theta \vec{e}_z,$$

$$\text{soit } \vec{B}(O) = \frac{\mu_0 J_0}{4\pi} 2\pi \frac{4}{3} \vec{e}_z \text{ et donc } \boxed{\vec{B}(O) = \frac{2}{3} \mu_0 J_0 \vec{e}_z}$$

I.2.3. Entre θ et $\theta + d\theta$, on peut définir un élément de courant dI tel que $dI \cdot 2\pi R \sin \theta = J_0 \sin \theta \cdot 2\pi R \sin \theta \cdot R d\theta$, soit $dI = J_0 R \sin \theta d\theta$. Par définition, le moment dipolaire s'écrit $d\vec{M} = dI \cdot S \cdot \vec{e}_z$, soit :

$$d\vec{M} = J_0 R \sin \theta d\theta \pi (R \sin \theta)^2 \vec{e}_z \text{ et donc } \boxed{d\vec{M} = \pi J_0 R^3 \sin^3 \theta d\theta \vec{e}_z}$$

I.2.4. Le moment magnétique total s'écrit $\vec{M}_s = \pi J_0 R^3 \int_0^\pi \sin^3 \theta d\theta \vec{e}_z$, soit $\boxed{\vec{M}_s = \frac{4}{3} \pi R^3 J_0 \vec{e}_z}$

II – Sphère supraconductrice dans un champ magnétique

II.1. Propriétés du courant et du champ. Conséquences

II.1.1. L'équation de Maxwell-Ampère est $\text{rot } \vec{B} = \mu_0 \vec{j}_v + \epsilon_0 \mu_0 \frac{\partial \vec{E}}{\partial t}$. En régime stationnaire, $\frac{\partial \vec{E}}{\partial t} = \vec{0}$. Le

champ à l'intérieur est tel que $\vec{B} = \vec{0}$. On a donc $\boxed{\vec{j}_v = \vec{0}}$

II.1.2.a. La relation générale de passage pour $\vec{B} = \vec{0}$ est $\vec{B}_2 - \vec{B}_1 = \mu_0 \vec{j}_s \wedge \vec{n}_{12}$, ce qui donne $(\vec{B}_2 - \vec{B}_1) \vec{n}_{12} = (\mu_0 \vec{j}_s \wedge \vec{n}_{12}) \vec{n}_{12} = \vec{0}$, soit $\boxed{\vec{B}_{n2} - \vec{B}_{n1} = \vec{0}}$

II.1.2.b. Comme le champ magnétique est nul à l'intérieur de la sphère, la composante normale est nulle à l'intérieur et donc aussi à l'extérieur. Il ne reste que la composante tangentielle à l'extérieur : \vec{B}_2 est tangent à la sphère.

II.1.2.c. Pour le champ électrique, $\vec{E}_2 - \vec{E}_1 = \frac{\sigma}{\epsilon_0} \vec{n}_{12}$ conduit à la continuité de la composante tangentielle. A l'intérieur d'un conducteur en équilibre, le champ électrique est nul et donc le champ extérieur aura une composante tangentielle nulle. Le champ électrique est normal à la surface.

II.1.3.a. $\vec{B}_2 - \vec{B}_1 = \mu_0 \vec{j}_s \wedge \vec{n}_{12}$ et comme $\vec{B}_{n2} - \vec{B}_{n1} = \vec{0}$, il vient immédiatement $\boxed{\vec{B}_{t2} - \vec{B}_{t1} = \mu_0 \vec{j}_s \wedge \vec{n}_{12}}$

II.1.3.b. La relation précédente permet d'obtenir $B_{2t} - B_{1t} = \mu_0 j_s$ et donc on a $\boxed{\vec{J}_s = \frac{1}{\mu_0} \vec{B}_2}$

II.1.3.c. Le théorème de Coulomb traduit la discontinuité du champ électrique à la traversée d'une surface, soit

$$\boxed{\vec{E}_2 = \frac{\sigma}{\epsilon_0} \vec{n}_{12}}$$

II.1.4. On a obtenu $\vec{B}_R = \vec{B}_a + \vec{B}_M = B_a \left(-\frac{3R^3}{2r^3} \cos \theta \vec{e}_r + \left(1 + \frac{R^3}{2r^3} \right) \vec{e}_z \right)$.

Pour $r = R$, $\vec{B}_R(R) = B_a \left(-\frac{3}{2} \cos \theta \vec{e}_r + \frac{3}{2} \vec{e}_z \right) = \frac{3}{2} B_a (-\cos \theta \vec{e}_r + \cos \theta \vec{e}_r - \sin \theta \vec{e}_\theta) = -\frac{3}{2} B_a \sin \theta \vec{e}_\theta$. On obtient donc $\vec{B}_2 = -\frac{3}{2} B_a \sin \theta \vec{e}_\theta = \mu_0 \vec{J}_s \wedge \vec{e}_r$.

Comme $\vec{e}_r \wedge (\vec{J}_s \wedge \vec{e}_r) = \vec{J}_s - (\vec{e}_r \cdot \vec{J}_s) \vec{e}_r = \vec{J}_s$, $-\frac{3}{2} B_a \sin \theta (\vec{e}_r \wedge \vec{e}_\theta) = \mu_0 \vec{e}_r \wedge (\vec{J}_s \wedge \vec{e}_r) = \mu_0 \vec{J}_s = -\frac{3}{2} B_a \sin \theta \vec{e}_\phi$, ce

qui donne $\boxed{\vec{J}_s = -\frac{3B_a \sin \theta}{2\mu_0} \vec{e}_\phi}$

II.1.5. On obtient $\boxed{\vec{B}(O) = \frac{2}{3} \mu_0 J_0 \vec{e}_z = \vec{B}_{\text{int}} = \frac{2}{3} \mu_0 \left(-\frac{3B_a}{2\mu_0} \right) \vec{e}_z = -B_a \vec{e}_z}$: le champ total est bien nul à l'intérieur de la sphère.

II.1.6. $J_s(R, \pi/2) = 1,2 \cdot 10^6 \text{ A.m}^{-1}$.

II.1.7. $\vec{M}_s = \frac{4}{3} \pi R^3 J_0 \vec{e}_z = -\frac{4}{3} \pi R^3 \frac{3B_a}{2\mu_0} \vec{e}_z$ d'où $\boxed{\vec{M}_s = -\frac{2\pi R^3}{\mu_0} B_a \vec{e}_z}$. $\boxed{\|\vec{M}_s\| = \frac{2\pi 10^{-6}}{4\pi 10^{-7}} = 5,0 \text{ Am}^2}$

II.2. Rupture de supraconductivité. État intermédiaire.

II.2.1. $\|\vec{B}_R(R)\| = \frac{3}{2} B_a \sin \theta$ est maximal pour $\theta = \pi/2$: la supraconductivité cesse en premier au niveau du cercle équatorial.

II.2.2. $\vec{J}_s = -\frac{3B_a \sin \theta}{2\mu_0} \vec{e}_\phi$ vaut, pour $\theta = \pi/2$, $\vec{J}_s = -\frac{3B_a}{2\mu_0} \vec{e}_\phi$ de module $\boxed{J_c = \frac{B_c}{\mu_0} = 9,94 \cdot 10^6 \text{ A.m}^{-2}}$

II.2.3. $\vec{B}_R(R) = -\frac{3}{2} B_a \sin \theta \vec{e}_\theta$. Pour $\theta = \pi/2$, $\vec{B}_R(R) = -\frac{3}{2} B_a \vec{e}_\theta$ et donc on veut $B_{\max} = 3/2 B_1$. On applique un champ maximal $\underline{B_1 = 2/3 B_c = 8,33 \text{ T}}$.

II.2.4. et II.2.5. Cette question et la suivante semblent difficiles à résoudre sans information complémentaire. On pourra trouver celles-ci sur le site <http://www.lpm.u-nancy.fr/webperso/mangin.p/ch-3-champ-cri.pdf>, ce qui conduit aux conclusions suivantes :

$B_a < 2/3 B_c$: la sphère est totalement supraconductrice.

$2/3 B_c < B_a < B_c$: la sphère est partiellement supraconductrice.

$B_c < B_a$: la sphère est totalement à l'état normal.

II.3. Lévitation magnétique.

II.3.1. Pour une couronne située entre θ et $\theta + d\theta$, elle se comporte comme une spire parcourue par un courant dI tel que $2\pi R \sin \theta dI = J_s 2\pi R^2 \sin \theta d\theta$, soit $dI = J_s R d\theta$. La force élémentaire de Laplace s'écrit

$$d^2 \vec{F} = dI \cdot dOM \wedge \vec{B}_a \text{ et donc sur la couronne } \vec{F} = dI \oint_{couronne} dOM \wedge \vec{B}_a. \text{ Comme } \oint_{Couronne} dOM = \vec{0}, \text{ il est clair}$$

que la force qui agit sur une couronne est nulle et donc la force qui agit sur la sphère placée dans un champ magnétique uniforme est nulle.

II.3.2. $d\varepsilon_{pm} = -d\vec{M}_s \cdot \vec{B}_a = -(-Kd\vec{B}_a) \cdot \vec{B}_a$ d'où $\boxed{\varepsilon_{pm} = \frac{1}{2} K \vec{B}_a^2 + cste}$

II.3.3. L'équilibre est stable lorsque l'énergie potentielle est minimale : la sphère se déplacera dans la zone de champ de module faible.